

# УШИРЕНИЕ ПИКА МЕЖПОДЗОННОГО ПОГЛОЩЕНИЯ ИЗ-ЗА НЕЭКРАНИРУЕМОЙ НЕОДНОРОДНОСТИ УРОВНЕЙ

**Ф. Т. Васько\***

*Институт физики полупроводников Национальной академии наук Украины  
03650, Киев, Украина*

Поступила в редакцию 30 января 2001 г.

Форма пика межподзонного поглощения в квантовых ямах с неровными гетерограницами изучена теоретически. Хотя крупномасштабные изменения основного уровня экранированы в сильнолегированных структурах, энергия межподзонных переходов остается неоднородной в 2D-плоскости из-за неэкранированных изменений энергии возбужденного уровня. Уравнения для межподзонной поляризации выведены с учетом пропорциональных  $e^2$  кулоновских вкладов, приводящих к деполяризационному сдвигу и обменной перенормировке спектра. Форма пика межподзонного поглощения анализируется как в локальном приближении, так и с учетом нелокальности отклика в 2D-плоскости. При монослойных неровностях гетерограниц рассмотренный механизм вносит основной вклад в уширение пика межподзонного поглощения для дальнего и среднего ИК диапазонов.

PACS: 73.50.Bk, 78.66.Fd

## 1. ВВЕДЕНИЕ

Хотя резонансные межподзонные переходы активно изучались в последнее десятилетие [1–3], форма пика поглощения не была сколько-нибудь детально исследована, так что относительный вклад различных механизмов уширения сейчас неясен. Это связано как с тем, что спектральные исследования в ИК и субмиллиметровом спектральных диапазонах достаточно сложны, так и с тем, что уширение обычно определяется конкуренцией нескольких механизмов [4–7]. Кроме того, заметное влияние на межподзонные переходы оказывает электрон-электронное взаимодействие, которое приводит к деполяризационному сдвигу резонанса и к обменной перенормировке спектра (см. ссылки в [8, 9]). Существенное влияние кулоновских эффектов на форму пика поглощения в неидеальных квантовых ямах (КЯ) связано также с тем, что крупномасштабные вариации энергии межподзонного перехода, обусловленные изменениями ширины неидеальной КЯ, не экранируются даже в сильнолегированных структурах [10]. При изучении явлений переноса 2D-электронов, заполняющих основное состоя-

ние планарно-неоднородных КЯ, вариации энергии этого состояния полностью экранируются (рассматриваем случай, когда такие вариации меньше энергии Ферми), так что крупномасштабные неоднородности гетерограниц оказываются несущественными. Однако при рассмотрении межподзонных переходов неоднородности приводят к существенному уширению пика поглощения, поскольку вариации энергии возбужденного уровня (изменения которого больше, чем изменения основного состояния, см. схему на рис. 1) остаются неэкранируемыми. Для простой модели КЯ с шириной  $d_x = d + \delta d_x$  и высокими барьераами междуровневая энергия  $\varepsilon_{2x} - \varepsilon_{1x} = \varepsilon_{21} + \delta\varepsilon_x$  определяется соотношениями

$$\begin{aligned}\varepsilon_{sx} &\approx \frac{(s\pi\hbar/d_x)^2}{2m} \approx \varepsilon_s \left(1 - 2\frac{\delta d_x}{d}\right), \\ \delta\varepsilon_x &\approx 6\varepsilon_1 \frac{\delta d_x}{d}.\end{aligned}\quad (1)$$

Здесь  $\varepsilon_{21}$  — энергия межзонного перехода в идеальной КЯ,  $\delta\varepsilon_x$  — вариация энергии перехода ( $x$  — координата на 2D-плоскости),  $m$  — эффективная масса,  $d$  — средняя ширина КЯ, а  $\delta d_x$  описывает ее вариации за счет неровностей гетерограниц.

В данной работе рассмотрено влияние неэкра-

\*E-mail: ftv@hotmail.com

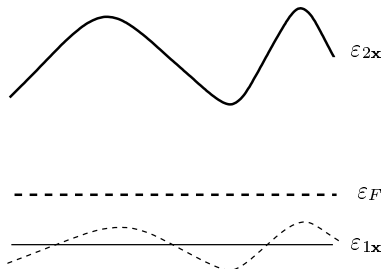


Рис. 1. Вариации энергии  $\varepsilon_{21}(x)$  межподзонного перехода вдоль 2D-плоскости сильнолегированной КЯ

нируемых неоднородностей КЯ на форму пика межподзонного поглощения. Получены уравнения для линейных добавок к недиагональным по номеру зон компонентам матрицы плотности,  $\delta f_{12}(\mathbf{p}, \mathbf{x})$  и  $\delta f_{21}(\mathbf{p}, \mathbf{x})$ , учитывающие пропорциональные  $e^2$  кулоновские вклады. Такие вклады описывают как высокочастотную добавку к самосогласованному полю, так и влияние обменных эффектов на межподзонные переходы. Неоднородность задачи в 2D-плоскости учитывается в квазиклассическом приближении, так что уравнения для  $\delta f_{21}(\mathbf{p}, \mathbf{x})$  и  $\delta f_{12}(\mathbf{p}, \mathbf{x})$  содержат частоту межподзонных переходов  $(\varepsilon_{21} + \delta\varepsilon_x)/\hbar$  и обычные дрейфовые вклады, пропорциональные  $\nabla\delta f_{ss'}(\mathbf{p}, \mathbf{x})$ , а кулоновские вклады даются интегралами по  $\mathbf{p}$ -плоскости (разд. 2). Суммирование такой системы по 2D-импульсам дает цепочку уравнений баланса для моментов отклика (разд. 3). Для случая предельно длинноволновых неоднородностей (локальный режим отклика, когда можно пренебречь дрейфовыми вкладами и рассматривать лишь уравнение для межподзонной поляризации) получается простое выражение, описывающее неоднородное уширение пика поглощения (разд. 4). Учет нелокальности отклика проведен с использованием степенных аппроксимаций для ядер интегральных слагаемых, описывающих обменные вклады, что позволило выразить межподzonную поляризацию через одиночастичную гриновскую функцию. Эта функция задается как континуальный интеграл и после усреднения по неоднородностям описывает трансформацию от гауссовского пика поглощения к лоренцевской форме линии с уменьшением характерного масштаба неоднородностей (разд. 5). Обсуждение приближений и заключительные замечания даны в последнем разделе.

## 2. САМОСОГЛАСОВАННОЕ ОПИСАНИЕ ОТКЛИКА

Линейный отклик неоднородной в  $\mathbf{x}$ -плоскости КЯ, возбуждаемый поперечным (поляризованным вдоль оси  $z$ ; ниже  $\mathbf{r} = (\mathbf{x}, z)$ ) электрическим полем  $E_\perp \exp(-i\omega t)$ , определяется плотностью тока  $J_{\omega\mathbf{x}} \exp(-i\omega t)$ :

$$J_{\omega\mathbf{x}} = \frac{2e}{L^2} \sum_{\mathbf{p}} v_\perp [\delta f_{12}(\mathbf{p}, \mathbf{x}) - \delta f_{21}(\mathbf{p}, \mathbf{x})]. \quad (2)$$

Здесь  $v_\perp = \langle 2|\hat{v}_z|1\rangle$  — матричный элемент скорости, вычисленный между состояниями  $|s\rangle$ , описываемыми орбиталями  $\varphi_{sz}$  (здесь и ниже учитывается лишь пара уровней,  $s = 1$  и  $s = 2$ , между которыми идут переходы),  $L^2$  — нормировочная площадь, а множитель 2 возникает от суммирования по спину. Недиагональная по номеру зон линеаризованная матрица плотности записана здесь с использованием вигнеровского представления по переменным, описывающим движение вдоль 2D-плоскости:

$$\delta f_{ss'}(\mathbf{p}, \mathbf{x}) = \langle s|\hat{\delta\rho}|s'\rangle_{\mathbf{p}, \mathbf{x}}.$$

Здесь  $\hat{\delta\rho}$  — добавка к матрице плотности, пропорциональная  $\exp(-i\omega t)$  и удовлетворяющая операторному уравнению (см., например, [11]):

$$-i\omega\hat{\delta\rho} + \frac{i}{\hbar} [\tilde{h}, \hat{\delta\rho}] + \frac{i}{\hbar} [\hat{\delta h}, \hat{\rho}] = J(\hat{\delta\rho}), \quad (3)$$

где  $\hat{\rho}$  — равновесная матрица плотности,  $J(\hat{\delta\rho})$  — линеаризованный интеграл столкновений. Входящий в (3) стационарный гамильтониан  $\tilde{h}$  включает как одноэлектронный гамильтониан  $\hat{h}$  неидеальной КЯ, так и пропорциональные  $e^2$  кулоновские добавки (самосогласованное поле и обменный вклад):

$$\tilde{h} = \hat{h} + \sum_{\mathbf{Q}} v_Q [e^{-i\mathbf{Q}\cdot\mathbf{r}} \text{Sp}(e^{i\mathbf{Q}\cdot\mathbf{r}} \hat{\rho}) - e^{-i\mathbf{Q}\cdot\mathbf{r}} \hat{\rho} e^{i\mathbf{Q}\cdot\mathbf{r}}]. \quad (4)$$

Здесь суммирование проводится по трехмерному волновому вектору  $\mathbf{Q} = (\mathbf{q}, q_\perp)$ ,  $v_Q = -4\pi e^2/(\epsilon Q^2 L^3)$  — кулоновский матричный элемент с однородной поперек слоя диэлектрической проницаемостью  $\epsilon$ , а след включает также суммирование по уровням  $s = 1, 2$ . Пропорциональный  $\exp(-i\omega t)$  вклад в оператор возмущения  $\hat{\delta h}$  в уравнении (3) записывается как

$$\begin{aligned} \hat{\delta h} = & \frac{ie}{\omega} E_\perp \hat{v}_\perp + \\ & + \sum_{\mathbf{Q}} v_Q [\delta n_{\mathbf{Q}} e^{-i\mathbf{Q}\cdot\mathbf{r}} - e^{-i\mathbf{Q}\cdot\mathbf{r}} \hat{\delta\rho} e^{i\mathbf{Q}\cdot\mathbf{r}}], \end{aligned} \quad (5)$$

причем вклад от самосогласованного поля выражен через индуцированную плотность  $\delta n_{\mathbf{Q}} = \text{Sp}[\exp(i\mathbf{Q} \cdot \mathbf{r})\hat{\rho}]$ .

Аппроксимируя интеграл столкновений частотой релаксации  $\nu$ , получаем для  $\delta f_{ss'}$  систему уравнений

$$\begin{aligned} & [\omega + i\nu + \omega_{21}(\mathbf{x}, p) + i\mathbf{v} \cdot \nabla_x] \delta f_{12}(\mathbf{p}, \mathbf{x}) + \\ & + \delta h_{12}(\mathbf{p}, \mathbf{x}) f_{Fp}/\hbar = 0, \\ & [\omega + i\nu - \omega_{21}(\mathbf{x}, p) + i\mathbf{v} \cdot \nabla_x] \delta f_{21}(\mathbf{p}, \mathbf{x}) + \\ & + \delta h_{21}(\mathbf{p}, \mathbf{x}) f_{Fp}/\hbar = 0, \end{aligned} \quad (6)$$

в которой  $\mathbf{v} = \mathbf{p}/m$  — скорость 2D-электронов,  $f_{Fp}$  — пространственно-однородное фермиевское распределение на основном уровне  $s = 1$  (рассматривается случай незаполненного возбужденного уровня), а частота межподзонных переходов  $\omega_{21}(\mathbf{x}, p) = \varepsilon_{21}(\mathbf{x}, p)/\hbar$  учитывает как описываемую соотношениями (1) случайную добавку к межуровневой энергии, так и обменные вклады:

$$\begin{aligned} \hbar\omega_{21}(\mathbf{x}, p) = & \varepsilon_{21} + \delta\varepsilon_{\mathbf{x}} - \\ & - \sum_{\mathbf{Q}} v_Q [\langle 2|e^{-i\mathbf{Q} \cdot \mathbf{r}} \hat{\rho} e^{i\mathbf{Q} \cdot \mathbf{r}} |2\rangle - \langle 1|e^{-i\mathbf{Q} \cdot \mathbf{r}} \hat{\rho} e^{i\mathbf{Q} \cdot \mathbf{r}} |1\rangle]. \end{aligned} \quad (7)$$

Матричные элементы возмущения (5) записываются в вигнеровском представлении как

$$\begin{aligned} \delta h_{ss'}(\mathbf{p}, \mathbf{x}) - \frac{ie}{\omega} E_{\perp} \left[ \begin{array}{c} v_{\perp}, (ss') = (21) \\ -v_{\perp}, (ss') = (12) \end{array} \right] = \\ = \int \frac{d\mathbf{p}_1}{2\pi m} \sum_{ab} \delta f_{ab}(\mathbf{p}_1, \mathbf{x}) \times \\ \times \left[ 2M_{ss'ba}(0) - M_{sabs'} \left( \frac{|\mathbf{p} - \mathbf{p}_1|}{\hbar} \right) \right], \end{aligned} \quad (8)$$

где кулоновские вклады выражены через множитель

$$\begin{aligned} M_{abcd}(q) = & \frac{e^2 m}{\pi \epsilon \hbar^2} \int_{-\infty}^{\infty} dq_{\perp} \frac{\langle a|e^{-iq_{\perp}z}|b\rangle \langle c|e^{iq_{\perp}z}|d\rangle}{q_{\perp}^2 + q^2} = \\ = & \frac{1}{a_B q} \int dz \varphi_{az} \varphi_{bz} \int dz' \varphi_{cz'} \varphi_{dz'} e^{-q|z-z'|}. \end{aligned} \quad (9)$$

Здесь в правом равенстве проведено интегрирование по  $q_{\perp}$ . С использованием такого обозначения введенная в (7) частота межподзонных переходов переписывается в виде

$$\begin{aligned} \omega_{21}(\mathbf{x}, p) = & \omega_{21}(\mathbf{x}) - \int \frac{d\mathbf{p}_1}{2\pi \hbar m} \times \\ \times & f_{Fp_1} \left[ M_{2112} \left( \frac{|\mathbf{p} - \mathbf{p}_1|}{\hbar} \right) - M_{1111} \left( \frac{|\mathbf{p} - \mathbf{p}_1|}{\hbar} \right) \right], \end{aligned} \quad (10)$$

причем  $\omega_{21}(\mathbf{x}) = (\varepsilon_{21} + \delta\varepsilon_{\mathbf{x}})/\hbar = \omega_{21} + \delta\omega_{\mathbf{x}}$  учитывает неоднородность задачи в 2D-плоскости. Последнее слагаемое в (10) описывает зависящую от импульса  $p$  обменную перенормировку частоты межподзонных переходов.

Дальнейшие упрощения возможны в двумерном предельном случае, когда  $p_F \ll \hbar/d$  и ядра  $M_{abcd}(q)$  рассматриваемой системы уравнений можно записать как

$$\begin{aligned} M_{abcd}(q) \approx & \frac{\delta_{ab}\delta_{cd}}{a_B q} - \frac{L_{abcd}}{a_B}, \\ L_{abcd} = & \int dz \int dz' \varphi_{az} \varphi_{bz} \varphi_{cz} \varphi_{dz'} |z - z'|, \end{aligned} \quad (11)$$

где  $a_B$  — боровский радиус и введена характерная длина  $L_{abcd}$ . Удобно вместо  $\delta f_{ss'}$  ввести новые неизвестные функции  $\psi_{\mathbf{p}, \mathbf{x}}^{\pm}$ , определяемые выражением

$$\delta f_{12}(\mathbf{p}, \mathbf{x}) \pm \delta f_{21}(\mathbf{p}, \mathbf{x}) = \frac{2ie}{\hbar\omega} E_{\perp} v_{\perp} f_{Fp} \psi_{\mathbf{p}, \mathbf{x}}^{\pm}. \quad (12)$$

В результате система уравнений (6) преобразуется к виду

$$\begin{aligned} & [\omega + i\nu + i\mathbf{v} \cdot \nabla_x] \psi_{\mathbf{p}, \mathbf{x}}^{+} + \\ & + \omega_{21}(\mathbf{x}) \psi_{\mathbf{p}, \mathbf{x}}^{-} + \Omega(\psi^{\pm} | \mathbf{p}, \mathbf{x}) = 1, \\ & [\omega + i\nu + i\mathbf{v} \cdot \nabla_x] \psi_{\mathbf{p}, \mathbf{x}}^{-} + \\ & + \omega_{21}(\mathbf{x}) \psi_{\mathbf{p}, \mathbf{x}}^{+} + \Omega(\psi^{\pm} | \mathbf{p}, \mathbf{x}) = 0, \end{aligned} \quad (13)$$

причем эту систему надо рассматривать в области  $|\mathbf{p}| < p_F$ . Кулоновские вклады в (13),  $\Omega(\psi^{\pm} | \mathbf{p}, \mathbf{x})$ , даются интегралами:

$$\begin{aligned} \left[ \begin{array}{c} \Omega(\psi^+ | \mathbf{p}, \mathbf{x}) \\ \Omega(\psi^- | \mathbf{p}, \mathbf{x}) \end{array} \right] = & \int_{|\mathbf{p}| < p_F} \frac{d\mathbf{p}_1}{2\pi \hbar m} (\psi_{\mathbf{p}, \mathbf{x}}^{\pm} - \psi_{\mathbf{p}_1, \mathbf{x}}^{\pm}) \times \\ \times & \left( \frac{\hbar}{a_B |\mathbf{p} - \mathbf{p}_1|} + \frac{L_{1212}}{a_B} \right) - \int_{|\mathbf{p}| < p_F} \frac{d\mathbf{p}_1}{2\pi \hbar m} \times \\ \times & \left( \psi_{\mathbf{p}, \mathbf{x}}^{\pm} \frac{L_{1111}}{a_B} - \psi_{\mathbf{p}_1, \mathbf{x}}^{\pm} \left[ \begin{array}{c} (L_{1122} - 2L_{1212})/a_B \\ L_{1122}/a_B \end{array} \right] \right), \end{aligned} \quad (14)$$

так что (13) является системой дифференциальных (в частных производных первого порядка) по  $\mathbf{x}$  и интегральных по  $\mathbf{p}$  уравнений.

### 3. УРАВНЕНИЯ БАЛАНСА

Согласно (2) и (12), индуцированная плотность тока записывается через  $\psi_{\mathbf{p}, \mathbf{x}}^{-}$  как

$$J_{\omega \mathbf{x}} = i \frac{(2e)^2 |v_{\perp}|^2}{\hbar \omega L^2} E_{\perp} \sum_{\mathbf{p}}' \psi_{\mathbf{p}, \mathbf{x}}^{-} = \sigma_{\omega \mathbf{x}} E_{\perp}, \quad (15)$$

где сумма со штрихом соответствует суммированию внутри ферми-круга  $|\mathbf{p}| < p_F$ . Локальная проводимость  $\sigma_{\omega \mathbf{x}}$  в (15) содержит множитель  $\delta n_{\mathbf{x}}^- = (2/L^2) \sum'_{\mathbf{p}} \psi_{\mathbf{p}, \mathbf{x}}^-$ , размерность которого равна концентрации, деленной на частоту. Относительное поглощение двумерного слоя,  $\xi(\omega)$  (определенное как отношение поглощаемого в КЯ и проходящего через  $2D$ -слой потоков энергии, см. [2]), вводится соотношением

$$\xi(\omega) = \frac{4\pi}{c\sqrt{\epsilon}} \operatorname{Re} \langle \sigma_{\omega \mathbf{x}} \rangle = \frac{e^2}{\hbar c} \frac{8\pi |v_{\perp}|^2}{\sqrt{\epsilon} \omega} \operatorname{Im} \langle \delta n_{\mathbf{x}}^- \rangle, \quad (16)$$

причем  $\langle \dots \rangle$  обозначает усреднение по неоднородностям толщины КЯ. Суммируя уравнения (13) по  $\mathbf{p}$ -плоскости, получаем для  $\delta n_{\mathbf{x}}^{\pm}$  систему уравнений баланса,

$$\begin{aligned} & (\omega + i\nu) \delta n_{\mathbf{x}}^+ + i \nabla_x \cdot \mathbf{i}_{\mathbf{x}}^+ + \omega_{21}(\mathbf{x}) \delta n_{\mathbf{x}}^- + \\ & + \frac{2}{L^2} \sum'_{\mathbf{p}} \Omega(\psi^- | \mathbf{p}, \mathbf{x}) = \frac{2}{L^2} \sum'_{\mathbf{p}} 1, \\ & (\omega + i\nu) \delta n_{\mathbf{x}}^- + i \nabla_x \cdot \mathbf{i}_{\mathbf{x}}^- + \omega_{21}(\mathbf{x}) \delta n_{\mathbf{x}}^+ + \\ & + \frac{2}{L^2} \sum'_{\mathbf{p}} \Omega(\psi^+ | \mathbf{p}, \mathbf{x}) = 0, \end{aligned} \quad (17)$$

в которой  $\sum'_{\mathbf{p}} 1$  обозначает суммирование по заполненным состояниям и возникают потоковые вклады

$$\mathbf{i}_{\mathbf{x}}^{\pm} = \frac{2}{L^2} \sum'_{\mathbf{p}} \mathbf{v} \psi_{\mathbf{p}, \mathbf{x}}^{\pm}.$$

Система уравнений для  $\mathbf{i}_{\mathbf{x}}^{\pm}$  получается при суммировании (13) с весом  $\mathbf{v}$ :

$$\begin{aligned} & (\omega + i\nu) \mathbf{i}_{\mathbf{x}}^+ + \frac{i}{2} \nabla_x w_{\mathbf{x}}^+ + \omega_{21}(\mathbf{x}) \mathbf{i}_{\mathbf{x}}^- + \\ & + \frac{2}{L^2} \sum'_{\mathbf{p}} \mathbf{v} \Omega(\psi^- | \mathbf{p}, \mathbf{x}) = 0, \\ & (\omega + i\nu) \mathbf{i}_{\mathbf{x}}^- + \frac{i}{2} \nabla_x w_{\mathbf{x}}^- + \omega_{21}(\mathbf{x}) \mathbf{i}_{\mathbf{x}}^+ + \\ & + \frac{2}{L^2} \sum'_{\mathbf{p}} \mathbf{v} \Omega(\psi^+ | \mathbf{p}, \mathbf{x}) = 0, \end{aligned} \quad (18)$$

и в ней возникают следующие моменты:

$$\frac{2}{L^2} \sum'_{\mathbf{p}} v_{\alpha} v_{\beta} \psi_{\mathbf{p}, \mathbf{x}}^{\pm} \approx \frac{\delta_{\alpha\beta} w_{\mathbf{x}}^{\pm}}{2}.$$

Здесь мы воспользовались малостью анизотропии  $\psi_{\mathbf{p}, \mathbf{x}}^{\pm}$  в случае плавных неоднородностей и оставили лишь диагональный по  $\alpha, \beta$  вклад при записи следующего среднего  $w_{\mathbf{x}}^{\pm}$ . Для такого вклада после сум-

мирования системы (13) по  $\mathbf{p}$ -плоскости с весом  $v^2$  получаются уравнения

$$\begin{aligned} & (\omega + i\nu) w_{\mathbf{x}}^+ + \omega_{21}(\mathbf{x}) w_{\mathbf{x}}^- + \\ & + \frac{2}{L^2} \sum'_{\mathbf{p}} v^2 \Omega(\psi^- | \mathbf{p}, \mathbf{x}) = \frac{2}{L^2} \sum'_{\mathbf{p}} v^2, \\ & (\omega + i\nu) w_{\mathbf{x}}^- + \omega_{21}(\mathbf{x}) w_{\mathbf{x}}^+ + \\ & + \frac{2}{L^2} \sum'_{\mathbf{p}} v^2 \Omega(\psi^+ | \mathbf{p}, \mathbf{x}) = 0, \end{aligned} \quad (19)$$

в которых мы пренебрегли градиентами от следующих моментов,  $(2/L^2) \sum'_{\mathbf{p}} v^2 \mathbf{v} \psi_{\mathbf{p}, \mathbf{x}}^{\pm}$ .

Рассмотрим теперь кулоновские вклады в написанную цепочку уравнений (17)–(19). При суммировании по  $\mathbf{p}$  интегрального слагаемого в (14) пропорциональный  $|\mathbf{p} - \mathbf{p}_1|^{-1}$  вклад выпадает и мы получаем простое соотношение

$$\frac{2}{L^2} \sum'_{\mathbf{p}} \Omega(\psi^{\pm} | \mathbf{p}, \mathbf{x}) = \delta \omega_{\pm} \delta n_{\mathbf{x}}^{\pm},$$

где кулоновские поправки к частотам имеют вид

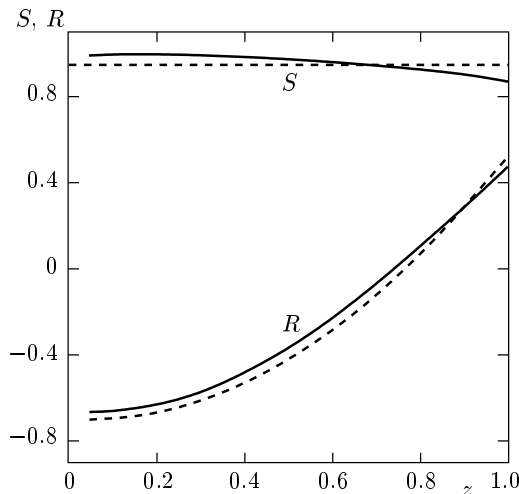
$$\delta \omega_{\pm} = \frac{\varepsilon_F}{\hbar a_B} \times \times \begin{cases} L_{1122} - L_{1111} - 2L_{1212} & = \frac{\varepsilon_F}{\hbar} \frac{d}{a_B} A_{\pm}, \\ L_{1122} - L_{1111} & \end{cases} \quad (20)$$

Последнее равенство здесь написано после вычисления  $L_{abcd}$  по формуле (11) для модели КЯ шириной  $d$  с высокими барьерами, когда  $L_{1111} \approx 0.2d$ ,  $L_{1122} \approx 0.27d$  и  $L_{1212} \approx -0.11d$ , так что коэффициенты  $A_{\pm}$  равны  $A_+ \approx 0.29$  и  $A_- \approx 0.063$ . В системе уравнений (18) возникают кулоновские вклады

$$\begin{aligned} \frac{2}{L^2} \sum'_{\mathbf{p}} \mathbf{v} \Omega(\psi^{\pm} | \mathbf{p}, \mathbf{x}) &= \frac{\varepsilon_F}{\hbar} \left[ \frac{L_{1212} - L_{1111}}{a_B} \mathbf{i}_{\mathbf{x}}^{\pm} + \right. \\ & \left. + \frac{\hbar}{a_B p_F} \frac{2}{L^2} \sum'_{\mathbf{p}} \psi_{\mathbf{p}, \mathbf{x}}^{\pm} v_F \frac{\mathbf{p}}{p} S \left( \frac{p}{p_F} \right) \right], \end{aligned} \quad (21)$$

а система (19) содержит вклады

$$\begin{aligned} \frac{2}{L^2} \sum'_{\mathbf{p}} v^2 \Omega(\psi^{\pm} | \mathbf{p}, \mathbf{x}) &= \\ &= \frac{\varepsilon_F}{\hbar} \left[ \frac{\hbar}{a_B p_F} \frac{2}{L^2} \sum'_{\mathbf{p}} \psi_{\mathbf{p}, \mathbf{x}}^{\pm} v_F^2 R \left( \frac{p}{p_F} \right) + \right. \\ & \left. + \frac{L_{1212} - L_{1111}}{a_B} w_{\mathbf{x}}^{\pm} - \right. \\ & \left. - \begin{cases} 3L_{1212} - L_{1122} \\ L_{1212} - L_{1122} \end{cases} \delta n_{\mathbf{x}}^{\pm} \frac{v_F^2}{2a_B} \right]. \end{aligned} \quad (22)$$



**Рис. 2.** Определяемые выражениями (23) функции  $S(z)$  и  $R(z)$ ; штрихи соответствуют аппроксимациям, использованным при замыкании уравнений баланса

В написанных выражениях пропорциональные  $|\mathbf{p} - \mathbf{p}_1|^{-1}$  интегралы не выпадают, а выражаются через безразмерные функции  $S(p/p_F)$  и  $R(p/p_F)$ .

Функции  $S(z)$  и  $R(z)$  в (21) и (22) даются интегралами

$$\begin{aligned} S(z) &= \int_{x<1} \frac{d\mathbf{x}}{\pi z^2} \frac{z^2 - \mathbf{x} \cdot \mathbf{z}}{|\mathbf{z} - \mathbf{x}|} \approx S, \\ R(z) &= \int_{x<1} \frac{d\mathbf{x}}{\pi} \frac{z^2 - x^2}{|\mathbf{z} - \mathbf{x}|} \approx -R + rz^2 \end{aligned} \quad (23)$$

и оказываются достаточно плавными (см. результаты численного расчета, представленные на рис. 2). Эти зависимости можно аппроксимировать константой и параболой, написанными в правых равенствах (23). С точностью около 5% можно выбрать следующие численные значения этих параметров:  $S \approx 0.95$ ,  $R \approx 0.7$  и  $r \approx 1.35$ . При использовании такой аппроксимации интегральный вклад в правой части (21) выражается через  $\delta n_{\mathbf{x}}^{\pm}$  и  $\mathbf{i}_{\mathbf{x}}^{\pm}$ , а в правой части (22) возникнут  $\delta n_{\mathbf{x}}^{\pm}$  и  $w_{\mathbf{x}}^{\pm}$ . Таким образом, уравнения (17)–(19) образуют приближенную замкнутую систему, состоящую из дифференциальных уравнений (17), (18) и алгебраических уравнений (19). Эти уравнения содержат случайную добавку к частоте перехода  $\delta\omega_{\mathbf{x}}$ , которая и приводит к уширению пика поглощения.

#### 4. ЛОКАЛЬНОЕ ПРИБЛИЖЕНИЕ

Рассмотрим вначале случай предельно плавных неоднородностей, когда потоковыми вкладами  $\nabla_x \cdot \mathbf{i}_{\mathbf{x}}^{\pm}$  в уравнениях (17) можно пренебречь и для  $\delta n_{\mathbf{x}}^{\pm}$  получается простая алгебраическая система

$$\begin{vmatrix} \omega + i\nu & \tilde{\omega}_{21} + \delta\omega_{\mathbf{x}} \\ \bar{\omega}_{21} + \delta\omega_{\mathbf{x}} & \omega + i\nu \end{vmatrix} \begin{vmatrix} \delta n_{\mathbf{x}}^+ \\ \delta n_{\mathbf{x}}^- \end{vmatrix} = \begin{vmatrix} n_{2D} \\ 0 \end{vmatrix}, \quad (24)$$

где  $n_{2D}$  — концентрация  $2D$ -электронов и введены частоты  $\tilde{\omega}_{21} = \omega_{21} + \delta\omega_-$  и  $\bar{\omega}_{21} = \omega_{21} + \delta\omega_+$ . Решение системы (24) легко записывается, и остается лишь вычислить среднее  $\langle \delta n_{\mathbf{x}}^- \rangle$ . Однако в общем случае такое усреднение весьма громоздко, и здесь мы ограничимся рассмотрением формы линии вблизи резонанса. В таком приближении удобно вначале диагонализовать неэрмитову матрицу

$$\begin{vmatrix} 0 & \tilde{\omega}_{21} \\ \bar{\omega}_{21} & 0 \end{vmatrix},$$

используя неунитарное преобразование

$$\hat{\Lambda} = \begin{vmatrix} \bar{\eta} & -\tilde{\eta} \\ \tilde{\eta} & \bar{\eta} \end{vmatrix}, \quad \hat{\Lambda}^{-1} = \frac{1}{2} \begin{vmatrix} 1/\bar{\eta} & 1/\bar{\eta} \\ -\tilde{\eta} & \tilde{\eta} \end{vmatrix}, \quad (25)$$

в котором введены параметры

$$\bar{\eta} = \sqrt{\bar{\omega}_{21}/(\tilde{\omega}_{21} + \bar{\omega}_{21})}$$

и

$$\tilde{\eta} = \sqrt{\tilde{\omega}_{21}/(\tilde{\omega}_{21} + \bar{\omega}_{21})}.$$

Результат диагонализации имеет вид

$$\hat{\Lambda} \begin{vmatrix} 0 & \tilde{\omega}_{21} \\ \bar{\omega}_{21} & 0 \end{vmatrix} \hat{\Lambda}^{-1} = \begin{vmatrix} -\Omega_{21} & 0 \\ 0 & \Omega_{21} \end{vmatrix}, \quad (26)$$

где  $\Omega_{21} = \sqrt{\bar{\omega}_{21}\tilde{\omega}_{21}}$  — частота резонансного перехода. При малом сдвиге пика

$$\Omega_{21} \approx \omega_{21} + A \frac{\varepsilon_F}{\hbar} \frac{d}{a_B}$$

с коэффициентом  $A \approx 0.18$ , вычисленным для модели КЯ с высокими барьерами, использовавшейся при записи (20). Далее проводим такое же преобразование матрицы

$$\begin{vmatrix} 0 & \delta\omega_{\mathbf{x}} \\ \delta\omega_{\mathbf{x}} & 0 \end{vmatrix}$$

и неоднородной части (24), записывая систему уравнений для

$$\hat{\Lambda} \begin{vmatrix} \delta n_{\mathbf{x}}^+ \\ \delta n_{\mathbf{x}}^- \end{vmatrix}.$$

Для частот, близких к  $\Omega_{21}$ , в таком столбце велика лишь резонансная компонента  $P_x$ , удовлетворяющая уравнению

$$[\delta\varepsilon + i\gamma - u_x]P_x = n_{2D}\bar{\eta}, \quad (27)$$

причем здесь введены расстройка энергии  $\delta\varepsilon = \hbar(\omega - \Omega_{21})$  и энергия однородного уширения  $\gamma = \hbar\nu$ , а также случайный потенциал  $u_x = K\hbar\delta\omega_x$  (параметр  $K = (\sqrt{\tilde{\omega}_{21}/\omega_{21}} + \sqrt{\omega_{21}/\tilde{\omega}_{21}})/2$  близок к единице при малой кулоновской перенормировке энергии межподзонного перехода,  $\delta\omega_{\pm} \ll \omega_{21}$ ). Входящая в (16) функция  $\delta n_x^-$  выражается через  $P_x$  по соотношению  $\delta n_x^- \approx -\hbar P_x/2\tilde{\eta}$ .

Подстановка решения уравнения (27) в соотношение (16) дает относительное поглощение

$$\xi(\delta\varepsilon) = -\frac{e^2}{\hbar c} \frac{4\pi|v_{\perp}|^2\hbar n_{2D}}{\sqrt{\epsilon}\omega} \times \sqrt{\frac{\tilde{\omega}_{21}}{\omega_{21}}} \operatorname{Im} \left\langle [\delta\varepsilon + i\gamma - u_x]^{-1} \right\rangle. \quad (28)$$

Для усреднения этого выражения по случайному потенциальному  $u_x$  удобно использовать

$$(A + i\gamma)^{-1} = -i \int_{-\infty}^0 d\tau \exp [(-iA + \gamma)\tau],$$

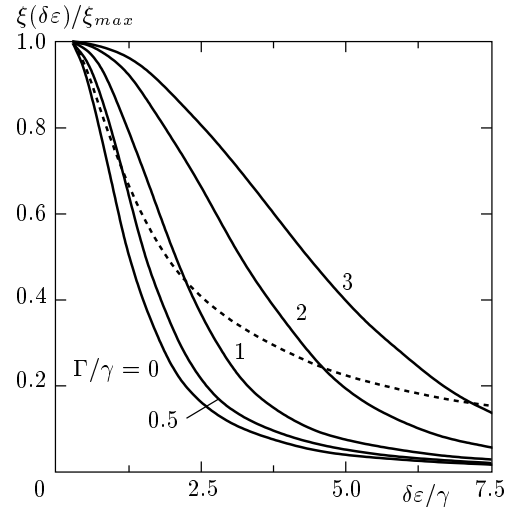
при этом  $u_x$  окажется в показателе экспоненты, так что среднее по вариациям толщины КЯ получается с использованием соотношения

$$\langle \exp(-iu_x\tau) \rangle = \exp[-(K\bar{\delta\varepsilon}\tau)^2/2],$$

где  $\bar{\delta\varepsilon}$  — среднеквадратичная вариация межуровневой энергии (1). В результате относительное поглощение дается выражением (которое также можно записать через интеграл вероятности от комплексного аргумента)

$$\begin{aligned} \xi(\delta\varepsilon) &= \frac{e^2}{\hbar c} \frac{4\pi|v_{\perp}|^2n_{2D}}{\sqrt{\epsilon}\omega} \sqrt{\frac{\tilde{\omega}_{21}}{\omega_{21}}} \times \\ &\times \operatorname{Re} \int_{-\infty}^0 dt \exp \left[ \frac{(\gamma - i\delta\varepsilon)t}{\hbar} \right] \exp \left[ -\frac{1}{\sqrt{2}} \left( \frac{\Gamma t}{\hbar} \right)^2 \right] = \\ &= \frac{e^2}{\hbar c} \frac{4\pi|v_{\perp}|^2\hbar n_{2D}}{\sqrt{\epsilon}\omega} \sqrt{\frac{\tilde{\omega}_{21}}{\omega_{21}}} \times \\ &\times \begin{cases} 2\gamma/[(\delta\varepsilon)^2 + \gamma^2], & \gamma \gg \Gamma, \\ \sqrt{2\pi}\Gamma \exp[-(\delta\varepsilon/\Gamma)^2/2], & \gamma \ll \Gamma, \end{cases} \quad (29) \end{aligned}$$

где введена характерная энергия неоднородного уширения  $\Gamma = 6K\varepsilon_1\bar{d}/d$ , соответствующая среднеквадратичной вариации ширины КЯ, равной  $\bar{d}$ .



**Рис. 3.** Трансформация формы пика поглощения с ростом вклада неоднородного уширения (значения  $\Gamma/\gamma$  приведены у кривых); функция  $G(z)$  из (30), описывающая уменьшение высоты пика с ростом его ширины, показана штрихами

Последнее равенство дает асимптотики для доминирующего столкновительного или неоднородного механизмов уширений, когда реализуется лоренцевский или гауссовский пик. Рисунок 3 иллюстрирует трансформацию формы линии между этими предельными случаями с ростом отношения  $\Gamma/\gamma$ . Здесь также введено максимальное значение относительного поглощения  $\xi_{max} \equiv \xi(\delta\varepsilon = 0)$ :

$$\begin{aligned} \xi_{max} &= \frac{e^2}{\hbar c} \frac{(2\pi)^{3/2}|v_{\perp}|^2\hbar n_{2D}}{\sqrt{\epsilon}\Omega_{21}\Gamma} \sqrt{\frac{\tilde{\omega}_{21}}{\omega_{21}}} G \left( \frac{\gamma}{\sqrt{2}\Gamma} \right), \quad (30) \\ G(z) &= e^{z^2/2}[1 + \Phi(z)], \end{aligned}$$

где функция  $G(z)$ , описывающая уменьшение высоты пика с ростом его ширины, выражена через интеграл вероятности  $\Phi(z)$ .

Численная оценка  $\Gamma$  для параметров GaAs-КЯ, соответствующих спектральной области 10 мкм при монослойных вариациях гетерограниц ( $\bar{d}/d \approx 2.5 \text{ \AA}$ ) дает ширину линии около 10 мэВ, что согласуется с рядом измерений (см. [2, гл. 8] и [12]). Недавние измерения [5, 7] меньших ширин пиков (порядка нескольких миллиэлектронвольт), видимо, обусловлены более высоким качеством гетерограниц (когда  $\bar{d}/d \approx 1 \text{ \AA}$ ). Эти измерения также демонстрируют заметное уменьшение  $\Gamma$  с ростом толщины КЯ, что согласуется с проведенным здесь рассмотрением. Такая же оценка для InAs-КЯ с параметрами, соответствующими спектральной области 5 мкм, дает значение  $\Gamma$  порядка 30 мэВ, что соответствует результатам

там работы [6]. Измерения эмиссии в субмиллиметровой спектральной области [13–15] дают ширины линий порядка нескольких миллиэлектронвольт, что также согласуется с приведенным здесь выражением для  $\Gamma$  (при этих численных оценках учитывалось, что энергия  $3\varepsilon_1$  близка к энергии межуровневого перехода). Хотя подробное исследование формы пика требует дополнительных самосогласованных расчетов и специальных измерений, неплохое совпадение простого выражения для  $\Gamma$  с экспериментальными данными демонстрирует существенную роль неоднородного уширения в экспериментах [5–7] и [12–15].

## 5. НЕЛОКАЛЬНЫЙ РЕЖИМ УШИРЕНИЯ

Перейдем теперь к случаю конечных значений корреляционной длины  $l_c$ , когда необходимо учитывать потоковые вклады в формирование пика межподзонного поглощения и рассматривать уравнения для  $\delta n_{\mathbf{x}}^{\pm}$ ,  $\mathbf{i}_{\mathbf{x}}^{\pm}$  и  $w_{\mathbf{x}}^{\pm}$ . Подставляя аппроксимации (23) в правые части (21) и (22), перепишем уравнения (18) и (19) в виде

$$\begin{vmatrix} \omega + i\nu & \tilde{\omega} + \delta\omega_{\mathbf{x}} \\ \tilde{\omega} + \delta\omega_{\mathbf{x}} & \omega + i\nu \end{vmatrix} \begin{vmatrix} \mathbf{i}_{\mathbf{x}}^+ \\ \mathbf{i}_{\mathbf{x}}^- \end{vmatrix} = -\frac{i}{2} \begin{vmatrix} \nabla_x w_{\mathbf{x}}^+ \\ \nabla_x w_{\mathbf{x}}^- \end{vmatrix}, \quad (31)$$

$$\begin{vmatrix} \omega + i\nu & \bar{\omega} + \delta\omega_{\mathbf{x}} \\ \bar{\omega} + \delta\omega_{\mathbf{x}} & \omega + i\nu \end{vmatrix} \begin{vmatrix} w_{\mathbf{x}}^+ \\ w_{\mathbf{x}}^- \end{vmatrix} = \begin{vmatrix} \varepsilon_F/\hbar)/\pi + \alpha v_F^2 \delta n_{\mathbf{x}}^- \\ \beta v_F^2 \delta n_{\mathbf{x}}^+ \end{vmatrix}, \quad (32)$$

где введены параметры

$$\alpha = \frac{3L_{1212} - L_{1122}}{2a_B} + \frac{R\hbar}{a_B p_F},$$

$$\beta = \frac{L_{1212} - L_{1122}}{2a_B} + \frac{R\hbar}{a_B p_F},$$

а также перенормированные частоты

$$\tilde{\omega} = \omega_{21} + \Delta\omega + R \frac{\varepsilon_F}{a_B p_F}, \quad \bar{\omega} = \omega_{21} + \Delta\omega + r \frac{\varepsilon_F}{a_B p_F} \quad (33)$$

и  $\hbar\Delta\omega = \varepsilon_F(L_{1212} - L_{1111})/2a_B$ . Подстановка решения (32) в уравнение (31) и дальнейшая подстановка решения (31) в (17) дают для  $\delta n_{\mathbf{x}}^{\pm}$  замкнутую систему уравнений.

Ограничивааясь резонансным приближением, пренебрегаем далее малыми случайными добавками в нерезонансных вкладах при записи решений (31), (32) и считаем  $\omega$  близким к  $\Omega_{21}$ . В результате

для определяющих межподзонную поляризацию функций  $\delta n_{\mathbf{x}}^{\pm}$  получается система уравнений

$$\left\{ \hat{\mathcal{K}} \nabla_x^2 + \begin{vmatrix} \omega + i\nu & \tilde{\omega}_{21} + \delta\omega_{\mathbf{x}} \\ \bar{\omega}_{21} + \delta\omega_{\mathbf{x}} & \omega + i\nu \end{vmatrix} \times \begin{vmatrix} \delta n_{\mathbf{x}}^+ \\ \delta n_{\mathbf{x}}^- \end{vmatrix} = \begin{vmatrix} n_{2D} \\ 0 \end{vmatrix}, \quad (34) \right.$$

которая отличается от (24) лишь появлением нелокального (пропорционального  $\nabla_x^2$ ) вклада, определяемого тензором

$$\hat{\mathcal{K}} \approx \frac{\varepsilon_F v_F^2 / 2\hbar}{(\Omega_{21}^2 - \tilde{\omega}^2)(\Omega_{21}^2 - \bar{\omega}^2)} \times \begin{vmatrix} -\alpha\Omega_{21}(\tilde{\omega} + \bar{\omega}) & \beta(\Omega_{21}^2 + \tilde{\omega}\bar{\omega}) \\ \alpha(\Omega_{21}^2 + \bar{\omega}\bar{\omega}) & -\beta\Omega_{21}(\tilde{\omega} + \bar{\omega}) \end{vmatrix}. \quad (35)$$

Выполняем далее преобразование (25) и выделяем резонансную компоненту системы (34), что приводит к уравнению

$$\left[ \frac{\hbar^2}{2M} \nabla_x^2 - u_{\mathbf{x}} + \delta\varepsilon + i\gamma \right] P_{\mathbf{x}} = n_{2D} \bar{\eta}, \quad (36)$$

которое обобщает уравнение (27), учитывая нелокальный вклад с эффективной массой (здесь  $M = \hbar/2\mathcal{K}_{11}$ )

$$M = -m \frac{\hbar^2 (\Omega_{21} - \bar{\omega})(\Omega_{21} - \tilde{\omega})}{(\alpha + \beta)\varepsilon_F^2} \quad (37)$$

наряду со случайным потенциалом  $u_{\mathbf{x}} \propto \delta\omega_{\mathbf{x}}$ .

Решение (36) удобно записать, вводя гриновскую функцию этого уравнения согласно ( $\hat{\mathbf{p}} \equiv -i\hbar\nabla_x$ )

$$\left[ \frac{\hat{\mathbf{p}}^2}{2M} + u_{\mathbf{x}} - \delta\varepsilon + i\gamma \right] g_{\delta\varepsilon}(\mathbf{x}, \mathbf{x}') = \delta(\mathbf{x} - \mathbf{x}'). \quad (38)$$

Подставляя затем  $\delta n_{\mathbf{x}}^- = -\hbar P_{\mathbf{x}}/2\tilde{\eta}$  в соотношение (16), получаем для относительного поглощения

$$\xi(\delta\varepsilon) = \frac{e^2}{\hbar c} \frac{4\pi|v_{\perp}|^2 n_{2D} \hbar}{\sqrt{\epsilon} \Omega_{21}} \text{Im} \left\langle \int d\mathbf{x}' g_{\delta\varepsilon}(\mathbf{x}, \mathbf{x}') \right\rangle. \quad (39)$$

Введенная в (38) гриновская функция стандартным образом записывается через континуальный интеграл. Далее выполним в этом интеграле усреднение по случайному потенциалу и выделим прямолинейную траекторию вдоль интервала  $(\mathbf{x}, \mathbf{x}')$  (см. [16]). В

результате  $\xi(\delta\varepsilon)$  выражается через контурный континуальный интеграл:

$$\begin{aligned} \xi(\delta\varepsilon) = & \frac{e^2}{\hbar c} \frac{4\pi|v_\perp|^2 n_{2D}\hbar}{\sqrt{\epsilon}\Omega_{21}} \operatorname{Im} \frac{i}{\hbar} \int d\mathbf{u} \times \\ & \times \int_{-\infty}^0 dt \exp \left[ \frac{i(\delta\varepsilon - i\gamma)t}{\hbar} \right] \exp \left( \frac{iMu^2}{2\hbar t} \right) \times \\ & \times \oint \mathcal{D}\{\mathbf{x}_t\} \exp \left[ \frac{iM}{2\hbar} \int_0^t d\tau \dot{x}_\tau^2 - \right. \\ & \left. - \frac{1}{\hbar^2} \int_0^t d\tau \int_0^i d\tau' W \left( \left| \mathbf{u} \frac{\tau - \tau'}{t} + \mathbf{x}_\tau - \mathbf{x}_{\tau'} \right| \right) \right], \quad (40) \end{aligned}$$

который не зависит от  $\mathbf{x}$ . Здесь  $\mathbf{u} = \mathbf{x} - \mathbf{x}'$  и используется гауссовская корреляционная функция

$$W(|\mathbf{x} - \mathbf{x}'|) = \langle \delta\varepsilon_{\mathbf{x}} \delta\varepsilon_{\mathbf{x}'} \rangle = (\overline{\delta\varepsilon})^2 \exp[-|\mathbf{x} - \mathbf{x}'|^2/l_c^2]$$

с корреляционной длиной  $l_c$  и характерной энергией  $\overline{\delta\varepsilon} = \Gamma/K$  (широкение  $\Gamma$  вводилось в (29); ниже  $K$  заменяется единицей).

Для того чтобы оценить вклады отклонений от прямолинейной траектории в континуальный интеграл (40), используем метод оптимальной траектории. Согласно [16], такая траектория соответствует минимальной вариации действия в показателе экспоненты в (40) и находится из уравнения Эйлера–Лагранжа

$$\begin{aligned} M\ddot{\mathbf{x}}_\tau - \frac{2i}{\hbar l_c^2} \int_0^t d\tau' \left( \mathbf{u} \frac{\tau - \tau'}{t} + \mathbf{x}_\tau - \mathbf{x}_{\tau'} \right) \times \\ \times w \left( \left| \mathbf{u} \frac{\tau - \tau'}{t} + \mathbf{x}_\tau - \mathbf{x}_{\tau'} \right| \right) = 0. \quad (41) \end{aligned}$$

Это уравнение должно решаться с начальными условиями  $\mathbf{x}_{\tau=0,t} = 0$ . Правую часть уравнения (41) можно оценить, используя неравенство  $|\mathbf{x}W(x)| \leq l_c \overline{\delta\varepsilon}^2$ , что дает простую оценку сверху для  $\mathbf{x}_\tau$  (см. аналогичные вычисления в Приложении В работы [17]). Максимальное отклонение оптимальной траектории от прямолинейной,  $\mathbf{x}_\tau^{max}$ , имеет место при  $\tau = t/2$ . Таким образом, можно пренебречь отклонениями от прямолинейной траектории при записи корреляционной функции в уравнении (40), если выполнено неравенство

$$|\mathbf{u}| \frac{\overline{\delta\varepsilon} t^2}{2M\hbar l_c} \ll l_c. \quad (42)$$

После подстановки в (40) континуального интеграла для свободного движения получается выражение

для относительного поглощения, записанное через многократный интеграл:

$$\begin{aligned} \xi(\delta\varepsilon) = & \frac{e^2}{\hbar c} \frac{4\pi|v_\perp|^2 n_{2D}\hbar}{\sqrt{\epsilon}\Omega_{21}} \times \\ & \times \operatorname{Im} \int d\mathbf{u} \int_{-\infty}^0 \frac{dt M}{2\pi\hbar t} \exp \left[ \frac{i(\delta\varepsilon - i\gamma)t}{\hbar} \right] \times \\ & \times \exp \left[ i \frac{Mu^2}{2\hbar t} - \frac{t^2}{2\hbar^2} \int_0^1 dx \int_0^1 dx' W(|\mathbf{u}|(x-x')) \right]. \quad (43) \end{aligned}$$

Отметим, что при вычислении (43) существенны временные интервалы порядка  $\hbar/\gamma_{eff}$ ; здесь  $\gamma_{eff}$  определяет результирующее уширение пика.

Для случая крупномасштабных изменений ширины КЯ, когда

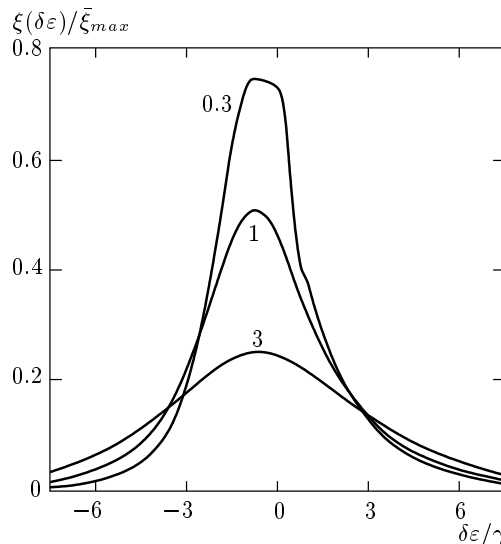
$$\varepsilon_c \equiv \frac{2}{M} \left( \frac{\hbar}{l_c} \right)^2 \ll \gamma_{eff},$$

описывающий неоднородное уширение член в (43) принимает вид  $\exp[-(\overline{\delta\varepsilon} t/\hbar)^2/2]$ ; здесь энергия  $\varepsilon_c$  введена для оценки дрейфовых вкладов в уширение пика. После элементарного интегрирования по  $\mathbf{u}$  относительное поглощение дается простым интегралом по времени (29). Таким образом, неравенство  $\varepsilon_c \ll \gamma_{eff}$  определяет пределы применимости локального приближения, обсуждавшегося в разд. 4. Такая зависимость также справедлива на хвостах пика поглощения при выполнении условия  $\varepsilon_c \leq |\delta\varepsilon|$ , так что лоренцевский спектр всегда реализуется при больших энергиях расстройки.

В противоположном предельном случае мелкомасштабных неоднородностей,  $\varepsilon_c \gg \gamma_{eff}$ , необходимо более детальное рассмотрение формы центральной части пика, где  $|\delta\varepsilon| \leq \varepsilon_c$ . Поскольку лишь малые значения  $|x - x'|$  дают вклад в пропорциональный  $t^2$  член в (40), относительное поглощение преобразуется к виду

$$\begin{aligned} \xi(\delta\varepsilon) \approx & \frac{e^2}{\hbar c} \frac{4|v_\perp|^2 n_{2D}}{\sqrt{\epsilon}\Omega_{21}} \times \\ & \times \operatorname{Im} \int_0^\infty dt \exp \left[ \frac{i(\delta\varepsilon + i\gamma)t}{\hbar} \right] \int ds \exp(iv^2) \times \\ & \times \exp \left[ -\frac{\sqrt{\pi} \overline{\delta\varepsilon}^2 (t/\hbar)^{3/2}}{2v\sqrt{\varepsilon_c}} \right], \quad (44) \end{aligned}$$

где изменено направление временной оси и вместо смещения  $\mathbf{u}$  введена безразмерная переменная  $s$ .



**Рис. 4.** Относительное поглощение (в единицах  $\xi_{max} = (e^2/\hbar c)(4\pi v_{\perp} n_{2D}/\sqrt{\epsilon}\Omega_{21})(\hbar/\gamma)$ ) для различных значений  $\gamma/G_{sr}$ , указанных у кривых

Пропорциональный  $\overline{\delta\varepsilon}$  член в показателе экспоненты можно заменить единицей при выполнении условия

$$\Gamma_{sr}^{3/2} \ll \gamma_{eff}^{3/2}, \quad \Gamma_{sr} \equiv \sqrt[3]{\frac{\pi}{4}} \frac{\overline{\delta\varepsilon}^{4/3}}{\varepsilon_c^{1/3}} = \sqrt[3]{\pi} \frac{\Gamma^{4/3}}{\varepsilon_c^{1/3}}, \quad (45)$$

$\Gamma_{sr}$  — характерная энергия уширения в случае мелкомасштабных неоднородностей. В предельном случае (45) пик поглощения оказывается лоренцевским с однородным столкновительным уширением  $\gamma$ . Если же реализуется противоположное (45) неравенство, то интегрирования в (44) надо выполнять численно.

На рис. 4 приведены зависимости относительного поглощения от  $\delta\varepsilon/\gamma$  для различных значений отношения  $\gamma/G_{sr}$ . При больших значениях этого параметра реализуется обычный лоренцевский пик с полушириной  $\gamma$ . С уменьшением  $\gamma/G_{sr}$  пик становится слегка асимметричным, а его полуширина оказывается порядка  $\Gamma_{sr}$ ; величина  $\xi(\delta\varepsilon)$  также медленнее изменяется вблизи максимума. Такая форма пика лучше аппроксимируется суммой двух лоренцевских вкладов с заметно различающимися полуширинами, чем лоренцевской или гауссовской кривой с какими-либо параметрами. Более сложную аппроксимацию для определяемого формулой (44) пика поглощения можно получить, записав  $\int ds$  как сумму асимптотик при  $t \rightarrow 0$  и при больших временах (в этой области интеграл берется методом перевала). В результате  $\xi(\delta\varepsilon)$  дается суммой лоренцевского пи-

ка полушириной  $\gamma$  и добавки полушириной порядка  $\gamma + \Gamma_{sr}$ , убывающей как  $|\delta\varepsilon|^{-3/2}$ .

Характерная энергия  $\varepsilon_c$ , определяющая условия применимости приближения мелкомасштабных неоднородностей и энергию  $\Gamma_{sr}$ , выражается через введенную в (37) массу. Для GaAs-КЯ шириной 100 Å и с концентрацией электронов  $5.6 \cdot 10^{11} \text{ см}^{-2}$  получаем  $M \approx 1.7m$ , так что при значениях  $l_c$  около 200 Å (когда еще выполнены условия  $l_c > d, a_B$ ) имеем  $\varepsilon_c \approx 3 \text{ мэВ}$ . Используя неоднородное уширение  $\Gamma = 3 \text{ мэВ}$ , соответствующее  $\overline{\delta\varepsilon}$ , из (45) получаем  $\Gamma_{sr} \approx 4.4 \text{ мэВ}$ . При таких параметрах  $\varepsilon_c$  лишь сравнивается с  $\gamma_{eff}$ , т. е. условия применимости коротковолнового предельного случая хорошо выполняются при уменьшении  $\overline{\delta\varepsilon}$  и  $l_c$ . В работах [5, 12] наблюдалась слабо зависящая от температуры пики, форма которых была близка к лоренцевской, так что уширение обусловлено неровностями гетероструктуры. Поскольку подвижность изучаемых в [5, 12] образцов не коррелировала с шириной линии, то вклад неровностей в однородное уширение (существенный при  $l_c \leq \hbar/p_F$ ) можно считать малым, так что реализуется описанный выше механизм уширения (соответствующий условию  $l_c \geq \hbar/p_F$ ).

## 6. ЗАКЛЮЧЕНИЕ

Полученные здесь результаты демонстрируют существенный вклад крупномасштабных неэкранируемых вариаций энергии межподзонного перехода в уширение пика поглощения. Такой механизм уширения может оказаться доминирующим не только в дальнем, но и в среднем ИК диапазоне. С уменьшением корреляционной длины неоднородностей реализуется режим нелокального отклика и гауссовская форма линии трансформируется в лоренцевскую.

Кратко обсудим использованные в работе приближения. При оценках межуровневой энергии и ее вариаций за счет неровностей гетерограниц использовалась простейшая модель КЯ с высокими барьерами, а уширение перехода за счет столкновений описывается феноменологической частотой релаксации  $\nu$ . Поскольку неидеальность гетероструктуры мало изменяет приповерхностную диэлектрическую проницаемость, возбуждающее поле  $E_{\perp}$  предполагается однородным в 2D-плоскости. Эти приближения общеприняты, а центральным приближением этого расчета является простая аппроксимация функций (23), которая позволяет замкнуть цепочку уравнений баланса и провести описание формы пика, учитывая нелокальные эффекты с помощью

стандартного усреднения континуального интеграла. Применимость такого приближения основана на хорошем совпадении приведенных на рис. 2 результатов численного расчета и аппроксимации функций (23). Предполагается также плавность неоднородностей КЯ: корреляционная длина  $l_c$  считается заметно большей  $a_B$ , так что имеет место полная экрализация вариаций энергии основного состояния. Вариации межподзонной энергии считаются малыми по сравнению с энергией Ферми, что позволяет ограничиться вкладом прямолинейных траекторий при вычислении (40). Численное рассмотрение противоположного предельного случая локализации электронов в слаболегированной КЯ проведено в недавней работе [18]. Изучение перехода между случаями малых и больших неоднородностей требует специального рассмотрения (аналогичная задача возникает при описании формы пика экситонного поглощения в неидеальной КЯ [19]).

Несмотря на использованные упрощения, приведенные в разд. 4 и 5 результаты описывают переход между режимами неоднородного и однородного уширений пика межзонного поглощения и дают ширину линии в зависимости от параметров КЯ и от характера неоднородности гетерограниц. Численные оценки демонстрируют существенный вклад рассмотренного механизма в уширение пика поглощения. Такой механизм уширения необходимо учитывать не только при описании спектральных характеристик различных устройств (детекторов, модуляторов) далекого и среднего ИК диапазона, но также и при рассмотрении резонансного усиления монополярных лазеров. Этот механизм уширения должен также проявляться в процессах неупругого рассеяния света с участием межподзональных переходов [20].

## ЛИТЕРАТУРА

1. *Intersubband Transitions in Quantum Wells: Physics and Devices*, ed. by S. S. Li and Y.-K. Su, Kluwer Acad. Publ., Boston (1998).
2. F. T. Vasko and A. Kuznetsov, *Electronic States and Optical Transitions in Semiconductor Heterostructures*, Springer, Berlin (1998).
3. M. Helm, in *Intersubband Transitions in Quantum Wells: Physics and Device Applications*, Semiconductors and Semimetals **62**, 1 (2000).
4. B. Gelmont, V. Gorfinkel, and S. Luryi, *Appl. Phys. Lett.* **68**, 2171 (1996).
5. K. L. Campman, H. Schmidt, A. Imamoglu, and A. C. Gossard, *Appl. Phys. Lett.* **69**, 2554 (1996).
6. G. Beadie, W. S. Rabinovich, D. S. Katzer, and M. Goldenberg, *Phys. Rev. B* **55**, 9731 (1997).
7. S. Tsujino, M. Rufenacht, H. Nakajima, T. Noda, C. Metzner, and H. Sakaki, *Phys. Rev. B* **62**, 1560 (2000).
8. D. E. Nikonorov, A. Imamoglu, and M. O. Scully, *Phys. Rev. B* **59**, 12212 (1999).
9. O. E. Raichev and F. T. Vasko, *Phys. Rev. B* **60**, 7776 (1999).
10. F. T. Vasko, J. P. Sun, G. I. Haddad, and V. V. Mitin, *J. Appl. Phys.* **87**, 3582 (2000).
11. Ф. Т. Васько, В. М. Розенбаум, *ФТТ* **21**, 648 (1979).
12. R. J. Warburton, K. Weilhammer, C. Jabs, J. P. Kotthaus, M. Thomas, and H. Kroemer, *Physica E* **7**, 191 (2000).
13. M. Helm, P. England, E. Colas, F. DeRosa, and S. J. Allen, *Phys. Rev. Lett.* **63**, 74 (1989).
14. M. Rochat, J. Faist, M. Beck, U. Oesterle, and M. Illegems, *Appl. Phys. Lett.* **73**, 3724 (1998).
15. J. Ulrich, R. Zobl, K. Unterrainer, G. Strasser, E. Gornic, K. D. Maranowski, and A. C. Gossard, *Appl. Phys. Lett.* **74**, 3158 (1999).
16. В. Л. Бонч-Бруевич, И. П. Звязгин, Р. Кайпер и др., *Электронная теория неупорядоченных полупроводников*, Москва, Наука (1981).
17. F. T. Vasko, O. G. Balev, and N. Studart, *Phys. Rev. B* **62**, 12940 (2000).
18. C. Metzner and G. H. Dohler, *Phys. Rev. B* **60**, 11005 (1999).
19. Ж. С. Геворкян, Ю. Е. Лозовик, *ФТТ* **27**, 1800 (1985).
20. A. Pinczuk, S. Schmitt-Rink, G. Danan, J. P. Valladares, L. N. Pfeiffer, and K. W. West, *Phys. Rev. Lett.* **63**, 1633 (1989); S. Ernst, A. R. Goni, K. Syassen, and K. Eberl, *Phys. Rev. Lett.* **72**, 4029 (1994).